



# بررسی آزمایشگاهی بهبود عملکرد خنکسازی یک مژول فتوولتائیک با استفاده از ماده تغییر فاز دهنده-نانوذرات اکسید مس

ابراهیم ابراهیمی \*

دانشکده فنی مهندسی، دانشگاه آزاد اسلامی واحد کرمانشاه، کرمانشاه، ایران

### تاریخچه داوری:

دریافت: ۱۳۹۷/۰۱/۱۸

بازنگری: ۱۳۹۷/۰۳/۱۵

پذیرش: ۱۳۹۷/۰۴/۲۶

ارائه آنلاین: ۱۳۹۷/۰۵/۰۲

### كلمات کلیدی:

مواد تغییر فاز دهنده

فتولتائیک

اکسید مس

خنکسازی

**خلاصه:** در این مطالعه، تاثیر استفاده از ترکیب یک ماده تغییر فاز دهنده و نانوذرات اکسید مس به عنوان عامل خنکساز بر روی عملکرد یک مژول فتوولتائیک به صورت آزمایشگاهی مورد بررسی قرار گرفته است. ماده تغییر فاز که در محفظه پشت مژول قرار گرفته و از طریق میلی‌لوله‌های مارپیچی با آب سرد خنکسازی شده است. ماده تغییر فاز دهنده به دلیل دریافت مقدار زیادی از گرمای سطح مژول و درنتیجه کنترل ظرفیت حرارتی سیستم به افزایش راندمان آن کمک می‌کند. اثر غلظت نانوذرات اکسید مس ( $0/5$  تا  $4/0$  درصد وزنی) و مقدار ماده تغییر فاز ( $1/25$  تا  $2/0$  کیلوگرم) بر پارامترهای مختلف مانند دمای سطح مژول، افزایش توان بیشینه و بازده خنکسازی مژول فتوولتائیک مورد بررسی قرار گرفته‌اند. نتایج نشان داد که استفاده از ماده تغییر فاز دهنده خالص به طور چشمگیری باعث کاهش دمای سطح مژول از  $58/34^{\circ}\text{C}$  شده است. همچنین، داده‌ها نشان داد که افزودن نانوذرات اکسید مس به ماده تغییر فاز دهنده خالص منجر به افزایش بازده خنکسازی و توان تولیدی از مژول شده است. افزایش وزن ماده تغییر فاز دهنده خالص و ترکیب آن با اکسید مس  $4\%$  از  $1\text{ kg}$  به  $2/25\text{ kg}$  منجر به کاهش دمای سطح مژول به ترتیب از  $51/7^{\circ}\text{C}$  به  $48/1^{\circ}\text{C}$  و از  $45^{\circ}\text{C}$  به  $42/9^{\circ}\text{C}$  شده است. همچنین، با افزایش غلظت نانوذرات در ماده تغییر فاز دهنده، بازده خنکسازی و مقدار توان تولیدی افزایش یافته و بالاترین مقادیر آن‌ها به ترتیب برابر  $22/87\%$  و  $3/46\text{ W}$  مربوط به حالت استفاده از ماده تغییر فاز دهنده و اکسید مس  $4\%$  می‌باشد.

## ۱- مقدمه

انرژی خورشیدی به الکتریسیته و دمای سطح مژول‌های فتوولتائیک رابطه مستقیم وجود دارد و حداقل مقادیر بازدهی بین ۱۴ تا ۱۷ درصد است [۴]. کارایی مژول‌های فتوولتائیک به ازای هر ۱ درجه سانتی‌گراد افزایش دمای سطح آن‌ها،  $0/5$  درصد کاهش می‌یابد [۸-۶]. بنابراین، پیدا کردن روش‌های کارآمد برای خنکسازی مژول‌های فتوولتائیک به منظور حذف مقدار بالایی از حرارت از سطح آن‌ها به طور جدی مورد نیاز است.

تعداد زیادی روش‌های جدید فعال<sup>۲</sup> و منفعل<sup>۳</sup> به منظور افزایش عملکرد و خنکسازی مژول‌های فتوولتائیک استفاده شده است. در روش‌های خنک‌کننده فعال مانند استفاده از اسپری آب [۹] و جت برخورد کننده هیبریدی<sup>۴</sup> [۱۰]، به استفاده از یک نیروی محرکه

انرژی خورشیدی به عنوان یکی از منابع انرژی تجدیدپذیر محسوب می‌شود که همیشه در دسترس است و ضایعات خاصی تولید نمی‌کند [۱-۳]. تقاضا برای انرژی ارزان و فراوان، استفاده از سیستم‌های فتوولتائیک<sup>۱</sup> برای تولید برق از طریق تابش خورشید را افزایش داده است. کارایی، بهره‌وری و طول عمر مژول‌های فتوولتائیک به طور قابل ملاحظه‌ای تحت تاثیر شرایط آب و هوایی مانند سرعت باد، جهت جریان باد و دمای محیط قرار می‌گیرد [۴]. در منابع گزارش شده است که فقط حدود ۱۵ تا ۲۰ درصد از تابش خورشیدی جذب شده توسط مژول فتوولتائیک را می‌توان به برق تبدیل کرد و بقیه به عنوان گرما از بین می‌رود [۵]. بین بازده تبدیل

### 1 Photovoltaic (PV)

\* نویسنده عهده‌دار مکاتبات: [ebrahimi@iauksh.ac.ir](mailto:ebrahimi@iauksh.ac.ir)

2 Active  
3 Passive  
4 Hybrid Jet Impingement

(Creative Commons License) حقوق مؤلفین به نویسنده‌گان و حقوق ناشر به انتشارات دانشگاه امیرکبیر داده شده است. این مقاله تحت لیسانس آفرینندگی مردمی (Creative Commons License) در دسترس شما قرار گرفته است. برای جزئیات این لیسانس، از آدرس <https://www.creativecommons.org/licenses/by-nc/4.0/legalcode> دیدن فرمائید.



معمولی حدود ۱۳٪ افزایش داده است. موسوی بایگی و صدر عاملی [۱۹] اثر استفاده از ماده تغییر فاز پلی اتیلن گلیکول ۱۰۰۰ بر خنکسازی و بهبود عملکرد یک پنل فتوولتائیک را به صورت آزمایشگاهی مورد مطالعه قرار دادند. طبق اظهار این محققین، در این پژوهش برای اولین بار در مقیاس نیمه‌صنعتی از مواد تغییر فاز به عنوان کنترل‌کننده دمای سلول فتوولتائیک استفاده شده است. نتایج آنان نشان داد که این سامانه می‌تواند دمای سطح پنل فتوولتائیک را حدود ۱۵°C کاهش دهد که باعث بهبود راندمان در حدود ۸٪ شد.

ال وائلی<sup>۱۰</sup> و همکاران [۱۰] اثر استفاده از ترکیب ماده تغییر فاز دهنده و نانوذرات سیلیسیم کاربید<sup>۱۱</sup> به عنوان ماده تغییر فاز برای خنکسازی سیستم حرارتی-فتوولتائیک و بهبود عملکرد آن را به صورت آزمایشگاهی مورد مطالعه قرار دادند. در این پژوهش، علاوه بر وجود نانوذرات در ماده تغییر فازدهنده، نانوسيال سیلیسیم کاربید در لوله‌هایی که در مخزن ذخیره‌سازی ماده تغییر فاز دهنده قرار داشتند جاری بود. نتایج نشان داد که استفاده از این تکنیک، منجر به کاهش دمای سطح مازول شده و بازده حرارتی سیستم را نسبت به مدل فتوولتائیک معمولی حدود ۷۲٪ افزایش داده است.

گستره استفاده از ترکیب مواد تغییر فاز با نانوذرات به تحقیق بیشتر به منظور ارائه بهترین حالات‌ها و روش ممکن برای بهبود خنکسازی سیستم‌های فتوولتائیک و کاهش هزینه‌های انرژی، همراه با افزایش فروش تجاری سیستم‌های مبتنی بر انرژی خورشیدی نیاز دارد.

در این پژوهش، تاثیر استفاده از ترکیب ماده تغییر فاز و نانوذرات اکسید مس به عنوان عامل خنکساز بر روی عملکرد و خنکسازی یک سیستم فتوولتائیک به صورت آزمایشگاهی مورد مطالعه قرار گرفته است. درواقع، نواوری این تحقیق استفاده همزمان از نانوذرات اکسید مس و ماده تغییر فاز به منظور خنکسازی یک مازول فتوولتائیک است در حالتی که این ترکیب توسط آب خنک کننده جاری در میلی لوله‌های مسی مارپیچی، تغییر فاز می‌دهند و خنک می‌شوند. در مراجع زیادی از ترکیب نانولوله‌های کربنی و نانوذرات اکسید آلومینیوم<sup>۱۲</sup>، بوهمیت و ... با آب برای تولید نانوسيال و جهت خنکسازی مواد تغییر فاز

خارجی<sup>۱</sup> برای جریان دادن به سیال عامل نیاز دارند. تکنیک‌های خنکسازی فعال دارای راندمان بالای هستند و منجر به تولید مقدار زیاد انرژی می‌شوند. روش‌های خنکسازی منفعل به سه گروه اصلی شامل خنکسازی منفعل هوا<sup>۲</sup>، خنکسازی منفعل آب<sup>۳</sup> و خنکسازی هدایتی<sup>۴</sup> تقسیم می‌شوند. یک نوع خاص از خنک کننده هدایتی منفعل در مازول‌های فتوولتائیک، استفاده از ماده تغییر فاز دهنده است که توسط بسیاری از نویسنده‌گان مورد توجه قرار گرفته است [۱۱-۱۶]. مواد تغییر فاز دهنده به دلیل داشتن توانایی بالا برای دریافت مقدار زیادی از حرارت سطح مازول‌های فتوولتائیک و درنتیجه کنترل ظرفیت حرارتی سیستم به افزایش راندمان آن‌ها کمک می‌کند [۱۱]. معمول‌ترین ماده تغییر فاز دهنده استفاده شده برای خنکسازی مازول‌های فتوولتائیک واکس پارافین است. واکس پارافین به منظور ذخیره‌سازی حرارت استفاده می‌شود، زیرا دارای ظرفیت بالا برای ذخیره‌سازی گرما در طیف گسترده‌ای از دما بوده و ارزان، غیرسمی و سازگار با محیط زیست است. همچنین، مطالعات زیادی روی خنکسازی مازول‌های فتوولتائیک با استفاده از ترکیب ماده تغییر فاز دهنده با نانومواد انجام شده است.

کارونامورسی<sup>۵</sup> و همکاران [۱۷] اثر وجود نانوذرات اکسید مس<sup>۶</sup> در پارافین تغییر فاز دهنده روی افزایش هدایت حرارتی آن را بررسی کرده و مشاهده کردند که هدایت حرارتی ماده تغییر فاز دهنده بهبود یافته است. آنان اظهار داشتند که این مسئله امکان غلبه بر میزان سرتبا کم انتقال حرارت در کاربردهای ذخیره انرژی حرارتی را فراهم کرد.

سردارآبادی<sup>۷</sup> و همکاران [۱۸] مطالعه آزمایشگاهی یک مجموعه سیستم حرارتی-فتوولتائیک مبتنی بر نانوسيال اکسید روی<sup>۸</sup> با پارافین تغییر فاز دهنده را انجام دادند. نانوسيال در لوله‌هایی که در مخزن ذخیره‌سازی ماده تغییر فاز دهنده قرار داشتند جاری بود. استفاده از این تکنیک خروجی الکتریکی سیستم را نسبت به مدل فتوولتائیک

- 
- |   |                             |
|---|-----------------------------|
| 1 | External Driving Force      |
| 2 | Air Passive Cooling         |
| 3 | Water Passive Cooling       |
| 4 | Conductive Cooling          |
| 5 | Phase Change Material (PCM) |
| 6 | Karunamurthy                |
| 7 | CuO                         |
| 8 | Sardarabadi                 |
| 9 | ZnO                         |

10 Al-Waeli

11 SiC

12 Al<sub>2</sub>O<sub>3</sub>

ترموومتر مدل لوترون، بی.تی.ام-۴۲۰-۸ اس.دی<sup>۳</sup> استفاده شد. یک دستگاه الکتریکی<sup>۴</sup> به منظور اندازه‌گیری و ثبت داده‌ها به ماژول فتوولتائیک متصل شده است.

ماژول فتوولتائیک مورد استفاده از مدل زد.تی.۱۰-۱۸-پی، تایوان<sup>۵</sup> بوده و درواقع یک ماژول سیلیکونی مونوکریستالی<sup>۶</sup> است که شامل ۷۲ سلول بوده که به صورت موازی و سری بهم متصل شده‌اند. ناحیه فعال هر ماتریس در ماژول فتوولتائیک به صورت mm<sup>2</sup> ۳۶×۲۴ است. به منظور اندازه‌گیری دمای سطح ماژول فتوولتائیک، تعداد ۹ ترموکوپل به سطح آن متصل شد. ۵ ترموکوپل به سطح بالایی ماژول و ۴ ترموکوپل به سطح پایینی آن متصل شدند. همچنین دو ترموکوپل به ورودی و خروجی آب خنک‌کن متصل شده و دمای‌های آب را در ورود به لوله پی.وی.سی<sup>۷</sup> پایین و خروج از لوله پی.وی.سی بالایی اندازه می‌گیرند. خطای ترمومتر لوترون، بی.تی.ام-۴۲۰-۸ اس.دی برابر  $\pm 0.4\%$  و خطای هر ترموکوپل برابر  $0.15^{\circ}\text{C}$  تا  $0.25^{\circ}\text{C}$  است. شکل ۲ شماتیکی از ماژول فتوولتائیک، ابعاد آن و نحوه قرارگیری ترموکوپل‌ها را نشان می‌دهد.

به منظور به تعویق انداختن ذوب شدن ماده تغییر فاز دهنده، از میلی لوله‌های مسی که در آن‌ها آب سرد جریان دارد، استفاده شده است. لوله‌های مسی در فاصله  $0.5/0$  سانتی‌متری از سطح ماژول قرار گرفته و در تماس با آن نیستند و تنها نقش خنک‌کننده ماده تغییر فاز دهنده در حالت مذاب را به عهده دارند. لوله‌های مسی به صورت مارپیچی از دو سر به دو لوله پی.وی.سی متصل شده و در محظه پشت ماژول قرار گرفته‌اند. درب شیشه‌ای این محفظه طوری ساخته شده که حجم آن را متغیر می‌سازد و می‌توان مقادیر مختلف از وزن ماده تغییر فاز دهنده را تا حداقل  $kg/2.5$  استفاده کرد. شماتیکی از برش عرضی از مجموعه ماژول فتوولتائیک و لوله‌های مسی احاطه شده با ترکیب ماده تغییر فاز دهنده-اکسید ۳ مس را می‌توان در شکل ۳ (الف) مشاهده کرد. همچنین، شکل ۳ (ب) نمای بالا از نحوه قرارگیری لوله‌های مسی در محفظه پشت ماژول فتوولتائیک را نشان می‌دهد. آب سرد از مخزن خارج شده و به یکی لوله‌های پی.وی.سی وارد و از لوله دیگر خارج می‌شود. به منظور

دهنده استفاده شده است. در این مقاله، نانوذرات اکسید مس به دلیل داشتن ضریب هدایت حرارتی بالا، جهت افزایش ضریب هدایت حرارتی پارافین و همچنین برای افزایش ظرفیت جذب حرارت، به آن اضافه شده است. استفاده از میلی لوله‌های مارپیچی برای عبور سیال خنک‌کن به دلیل افزایش سطح انتقال حرارت، نسبت به لوله‌های مستقیم موجود در مراجع دیگر، به عنوان یکی دیگر از نوآوری‌های این مقاله در نظر گرفته می‌شود. همچنین، در هیچ کدام از مراجع بررسی شده در این زمینه، اثر مقدار ماده تغییر فاز دهنده بر عملکرد و خنک‌سازی ماژول بررسی نشده که در این مطالعه این موضوع به طور کامل ارزیابی شده است. به طور کلی، اثر غلظت نانوذرات اکسید مس (درصد وزنی  $0.5/0$  تا  $4$  درصد) و وزن ماده تغییر فاز دهنده ( $0.25/0$  تا  $2$  کیلوگرم) بر پارامترهای مختلف مانند دمای سطح ماژول، افزایش توان ماکریم و بازده خنک‌سازی ماژول فتوولتائیک مورد بررسی قرار گرفته‌اند.

## ۲- کار آزمایشگاهی

### ۱-۲- تجهیزات آزمایشگاهی

یک سیستم آزمایشگاهی به منظور بررسی اثر ترکیب ماده تغییر فاز دهنده با نانوذرات اکسید مس بر عملکرد ماژول فتوولتائیک ساخته شد که شماتیک آن در شکل ۱ قابل مشاهده است. اجزا اصلی این سیستم عبارتند از: شبیه‌ساز خورشیدی، مخزن آب، سیستم ثبت‌کننده داده‌ها و ماژول فتوولتائیک. یک شبیه‌ساز خورشیدی به منظور تولید تابش خورشیدی لازم طراحی شده است. ایده اولیه ساخت شبیه‌سازی خورشیدی مورد استفاده در این پژوهش، از یک منبع معتبر استخراج شده است [۲۰]. از آنجایی که نور خورشید همیشه در دسترس نیست، از  $5$  لامپ متابال هالید<sup>۱</sup> مدل اج.آی.دی-تی  $400$  دبليو/دی<sup>۲</sup> با توان  $400$  وات به منظور تولید مستمر نور استفاده شده است. همه لامپ‌ها روی سطح یک صفحه آلومینیومی بر روی سقف یک اتاقک متصل شده و در فاصله  $60$  cm از سطح ماژول قرار گرفته‌اند. در تمامی آزمایشات، قدرت تابش نور از لامپ‌ها ثابت و برابر  $W/m^2 1000$  تنظیم شده است. به منظور اندازه‌گیری دمای سطح ماژول از یک

3 Lutron, BTM-4208SD

4 Electrical Load

5 ZT10-18-P ACDC, Taiwan

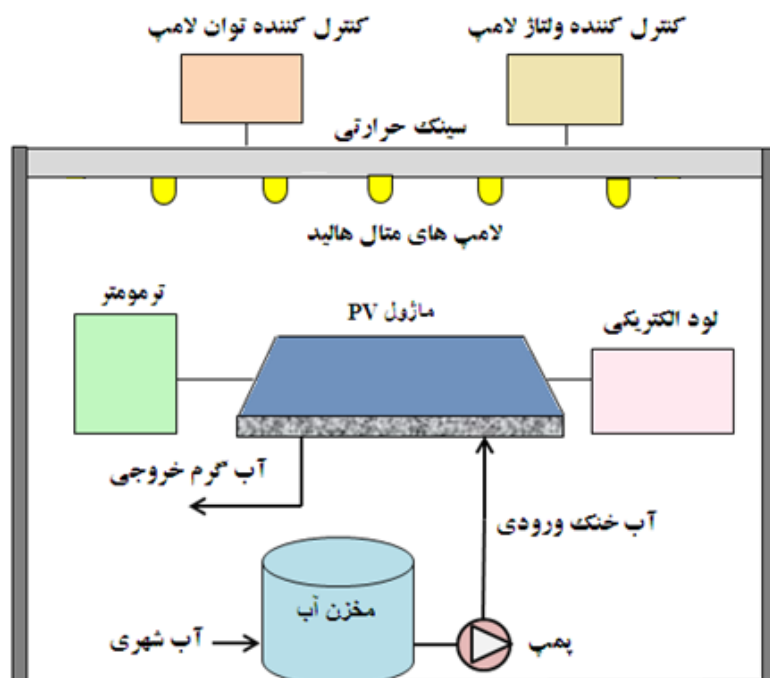
6 Mono-Crystalline Silicon

7 Polyvinyl Chloride (PVC)

Metal Halide Lamps	1
HID-T400 W/D	2



(الف)



(ب)

شکل ۱: نمایی از سیستم آزمایشگاهی راهاندازی شده در این مطالعه. (الف) شکل واقعی تجهیزات آزمایشگاهی، (ب) شماتیکی از تجهیزات آزمایشگاهی.  
Fig. 1: Overview of the experimental set up launched in this study. (A) The actual shape of the set up equipment; (b) a schematic of the set up equipment.



شکل ۲: شماتیک ماژول فتوولتائیک مورد مطالعه و نحوه قرارگیری ترموموکوپل‌ها روی سطح آن.

Fig. 2: Schematic of the photovoltaic module studied and positioning of the thermocouples on the surface.

جدول ۱: خواص ترموفیزیکی ماده تغییر فاز مورد استفاده در این مطالعه.

Table 1: Thermophysical Properties of changing Phase Material (PCM) using in this study.

مشخصات نانوذرات اکسید مس	پارامتر
شرکت سیگما آلدريچ	کشور سازنده
99/5٪	درصد خلوص
6300	دانسیته ( $\text{kg}/\text{m}^3$ )
29	سطح ویژه ( $\text{m}^2/\text{g}$ )
<50	قطر متوسط نانوذرات (mm)
20	هدایت حرارتی ( $\text{W}/\text{m}.^\circ\text{C}$ )
1326	دما نقطه ذوب ( $^\circ\text{C}$ )
531	ظرفیت گرمای ویژه حالت جامد ( $\text{kJ}/\text{kg}.^\circ\text{C}$ )

و خواص فیزیکی آن طبق اطلاعاتی که این شرکت ارائه کرده، در جدول ۱ آمده است.

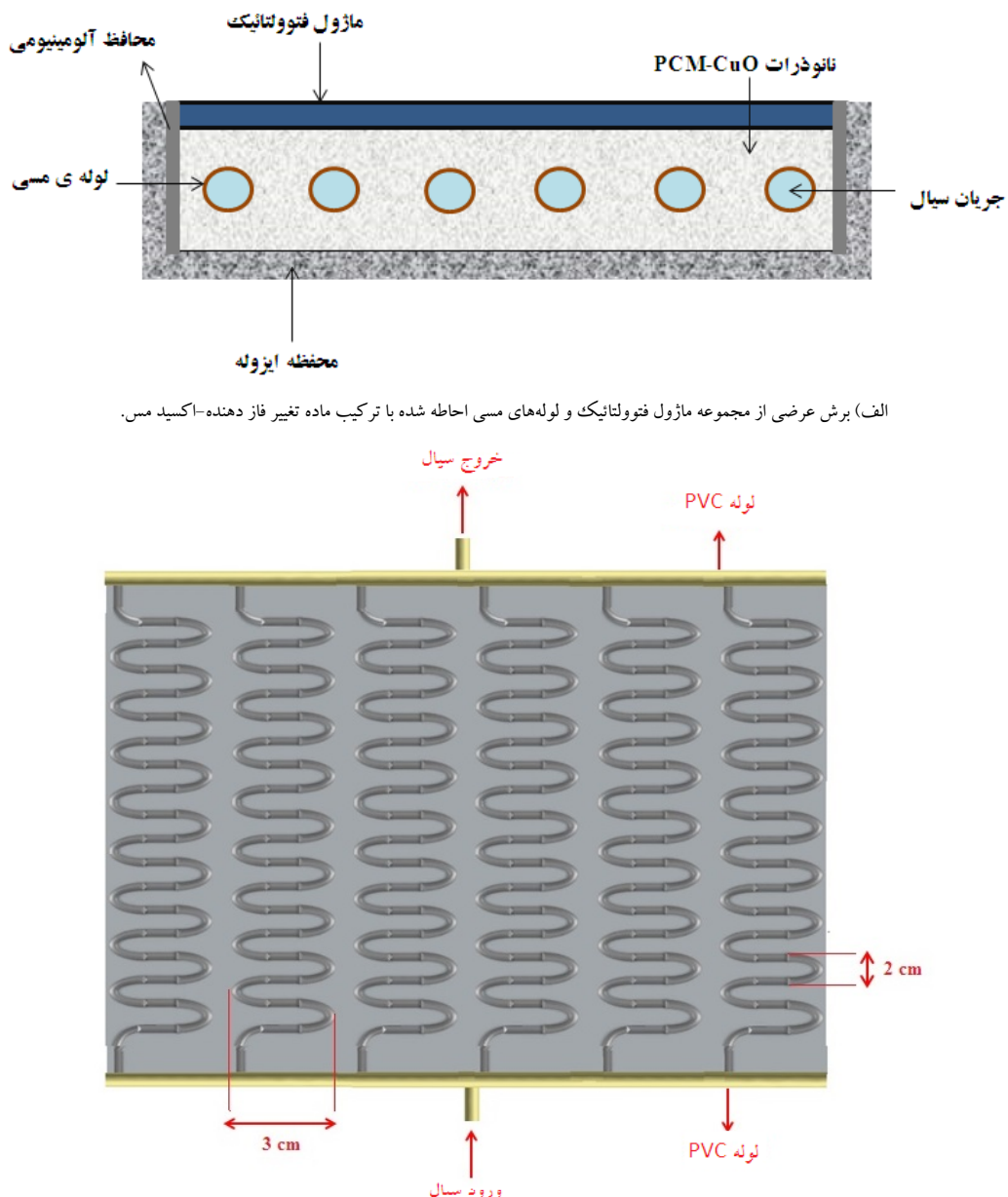
همچنین، مشخصات نانوذرات اکسید مس مورد استفاده که از شرکت سیگما آلدريچ خریداری شده در جدول ۲ آمده است.

نانوذرات با درصد جرمی‌های مختلف ۰/۵، ۱، ۲، ۳ و ۴ درصد در ماده تغییر فاز دهنده مذاب پراکنده شده و ۵ سوسپانسیون با درصد جرمی‌های مختلف نانوذرات بدست آمده است. عمل اختلاط

اینکه در طول انجام آزمایشات لوله‌های مسی پر از آب باشند، ماژول فتوولتائیک با افق شیب ۱۵ درجه داشته و آب سرد به لوله پی‌وی.

سی پایین وارد می‌شود.

۲-۲-آمده سازی ترکیب ماده تغییر فاز دهنده و نانوذرات اکسید مس ماده تغییر فاز دهنده مورد استفاده در این پژوهش، واکس پارافین بوده که از شرکت هایا شیمی رازی (کرمانشاه) خریداری شده



ب) نمای بالا از نحره قرارگیری لوله‌های مسی در پشت مازول فتوولتائیک.

شکل ۳: شماتیک مازول فتوولتائیک مورد مطالعه.

Fig. 3: Schematic of the photovoltaic module studied

حاوی سوسپانسیون در حمام آب و یخ قرار داده شد. بعد از همگن‌شدن، رنگ محلول سوسپانسیون از عسلی روشن به قهوه‌ای تیره‌سیاه تغییر می‌کند. مقادیر گرمای ویژه، ضریب هدایت حرارتی و دانسیته سوسپانسیون پارافین مذاب و نانوذرات اکسید مس با استفاده از معادلات مربوط به خواص فیزیکی نانوسيال موجود در مرجع [۲۱] محاسبه گردید که در جدول ۳ آمده است.

مقادیر دمای ذوب ترکیب حالت جامد پارافین و نانوذرات در درصد

نانوذرات در ماده تغییر فاز دهنده مذاب، توسط همزن التراسونیک (مدل هیلسچر-یوبی. اس. ۴۰۰، ساخت کشور آلمان) با فرکانس ۲۴ کیلوهرتز و توان ۴۰۰ وات، تحت دمای کنترل شده ۲۹۳ تا ۲۹۸ کلوین، به صورت همگن درآورده شد. برای حصول مخلوط همگن و پایدار، این فرآیند یک ساعت به طول انجامید. به منظور کنترل دما ضمن همگن شدن سوسپانسیون توسط همزن التراسونیک، ظرف

**جدول ۲: مشخصات نانوذرات اکسید مس مورد استفاده در این مطالعه.**  
**Table 2: Specifications of CuO nanoparticles using in this study.**

مشخصات نانوذرات اکسید مس	پارامتر
شرکت سیگما آلدريج	کشور سازنده
99/5٪	درصد خلوص
6300	دنسیته ( $\text{kg}/\text{m}^3$ )
29	سطح ویژه ( $\text{m}^2/\text{g}$ )
<50	قطر متوسط نانوذرات (mm)
20	هدایت حرارتی ( $\text{W}/\text{m} \cdot ^\circ\text{C}$ )
1326	دما نقطه ذوب ( $^\circ\text{C}$ )
531	ظرفیت گرمای ویژه حالت جامد (kJ/kg. $^\circ\text{C}$ )

**جدول ۳: مشخصات ترکیب پارافین و نانوذرات اکسید مس مورد استفاده در این مطالعه.**  
**Table 3: Properties of Composition of paraffin and CuO nanoparticles using in this study.**

$\square=4\%$	$\square=3\%$	$\square=2\%$	$\square=1\%$	$\square=0/5\%$	پارامتر
1056/48	1001/86	947/24	892/62	865/31	دانسیته حالت مایع ( $\text{kg}/\text{m}^3$ )
0/235	0/228	0/222	0/216	0/213	هدایت حرارتی حالت مایع ( $\text{W}/\text{m} \cdot ^\circ\text{C}$ )
49	49-50	50-51	52-53	52-53	دما نقطه ذوب ( $^\circ\text{C}$ )
1282/57	1018/76	724/53	394/29	21/353	ظرفیت گرمای ویژه حالت مایع (kJ/kg. $^\circ\text{C}$ )

و جریان ماکزیمم ( $I_{\max}$ ) ضبط شدند. دماهای ۹ نقطه از سطح مازول با استفاده از ترمومتر همزمان ضبط شدند. همه آزمایشات در دمای اتاق و حدود ۱۶-۱۷ درجه سانتی گراد در فصل زمستان انجام شدند.

جرمی های مختلف ۰/۵، ۱، ۲، ۳ و ۴ درصد به صورت آزمایشگاهی اندازه گیری شد که در جدول ۳ آمده است.

### ۳-۲- روند انجام آزمایشات

قبل از انجام آزمایشات، تست وجود نشتی برای مجموعه لوله های مسی در بالاترین دبی آب انجام شد و مشکلات نشتی به طور کامل رفع گردید. برای هر آزمایش مقدار مشخص از سوسپانسیون ماده تعییر فاز دهنده و نانوذرات به درون محفظه پشت مازول ریخته شده و ۲۴ ساعت به سیستم استراحت داده شده تا این به طور کامل جا گرفته و ترکیب به جامد تبدیل شود. در هنگام انجام آزمایشات، دبی آب سرد ورودی روی مقدار دلخواه تنظیم شد. مقادیر ولتاژ خروجی مختلف در جریان های الکتریکی مختلف با استفاده از دستگاه الکتریکی تنظیم شد. در حین آزمایشات، خروجی الکتریکی فتوولتایک به دستگاه الکتریکی متصل بوده و بعد از اینکه سیستم به حالت پایا رسید (حدود ۶۵ دقیقه)، مقادیر I-V به منظور بدست آوردن ماکزیمم توان تولیدی ( $P_{\max}$ ) و مقادیر ولتاژ ماکزیمم ( $V_{\max}$ )

**۴-۲- خطاهای آزمایشگاهی و آنالیز عدم قطعیت**  
 مقادیر واقعی از داده های اندازه گیری شده در این کار ناشناخته است. بنابراین، دقت داده های اندازه گیری شده نشان می دهد که داده های اندازه گیری تکرار شده چقدر به یکدیگر نزدیک هستند. از آنجاکه عدم قطعیت در مقادیر اندازه گیری شده یک دلیل عدم قطعیت در مقادیر محاسبه شده است، به عدم قطعیت دمای سطح مازول، ولتاژ و توان اندازه گیری شده نیاز است. داده های اندازه گیری به عنوان "مقدار اندازه گیری  $\pm$  عدم قطعیت" گزارش شده است. محاسبات به این شرح است: برای یک مجموع N تایی از مقادیر اندازه گیری شده برای برخی از کمیت ها، میانگین مقادیر اندازه گیری شده ( $\bar{x}$ ) و انحراف استاندارد ( $\sigma_x$ ) به صورت زیر محاسبه شد [۲۲]:

دماهی متوسط سطح مازول بعد از ۶۵ دقیقه حدود  $58/34^{\circ}\text{C}$  است. در مرحله بعد  $1\text{ kg}$  از ماده تغییر فاز دهنده خالص درون محفظه

پشت مازول ریخته شده و آزمایشات تکرار شدند تا اثر ماده تغییر فاز خالص بر کاهش دماهی سطح مازول بررسی شود. سپس آزمایشات در غلظت‌های مختلف ترکیب ماده تغییر فاز دهنده و نانوذرات اکسید مس تکرار شدند. در همه این مراحل، دماهای سطح مازول تا وقتی که سیستم به حالت پایا برسد ضبط می‌شوند. در ابتدا برای انجام آزمایشات ذکر شده، دبی آب سرد (Q) روی  $1\text{ Lit/min}$  تنظیم شده و مقدار  $1\text{ kg}$  از ماده تغییر فاز دهنده استفاده شده است. شکل ۴ تغییرات دماهی متوسط سطح مازول فتوولتائیک را در سه حالت ذکر شده نشان می‌دهد. این شکل نشان می‌دهد که در حالت بدون سیستم خنک‌کننده، دماهی سطح مازول با شیب تندی در حال افزایش یافتن بوده و تقریباً بعد از ۶۵ دقیقه به سمت ثابت شدن پیش رفته و به حدود  $58/34^{\circ}\text{C}$  رسیده است. اما در مورد حالت‌های استفاده از ماده تغییر فاز دهنده خالص و ترکیب ماده تغییر فاز دهنده و نانوذرات اکسید مس مقادیر دماهی سطح مازول کاهش چشمگیری داشته و شیب افزایش دما کاهش یافته است. بعد از گذشت  $60$  دقیقه، مقادیر دماهی سطح مازول برای حالت‌های استفاده از ماده تغییر فاز دهنده خالص و ترکیب ماده تغییر فاز دهنده و نانوذرات اکسید مس ثابت شده و سیستم به حالت پایدار رسیده است.

دلیل کاهش دماهی سطح مازول در حالت استفاده از ماده تغییر فاز دهنده، جذب گرمای اضافی از سطح آن توسط ماده تغییر فاز و است.

$$\bar{x} = \frac{1}{N} \sum_{i=1}^N x_i \quad (1)$$

$$\sigma_x = \sqrt{\frac{1}{N-1} \sum_{i=1}^N (x_i - \bar{x})^2} \quad (2)$$

مقادیر اندازه‌گیری شده را می‌توان به صورت  $x = \bar{x} \pm \sigma_x$  و  $x = \bar{x} \pm RSD(\%)$  گزارش نمود. در حالی که، RSD که انحراف استاندارد نسبی است، می‌تواند به صورت زیر بیان شود:

$$RSD(\%) = 100 \frac{\sigma_x}{\bar{x}} \quad (3)$$

ماکریم مقدار عدم قطعیت برای داده‌های دماهی سطح مازول فتوولتائیک  $4/4\%$ ، برای ولتاژ  $3/6\%$  و برای توان اندازه‌گیری شده  $4/1\%$  است.

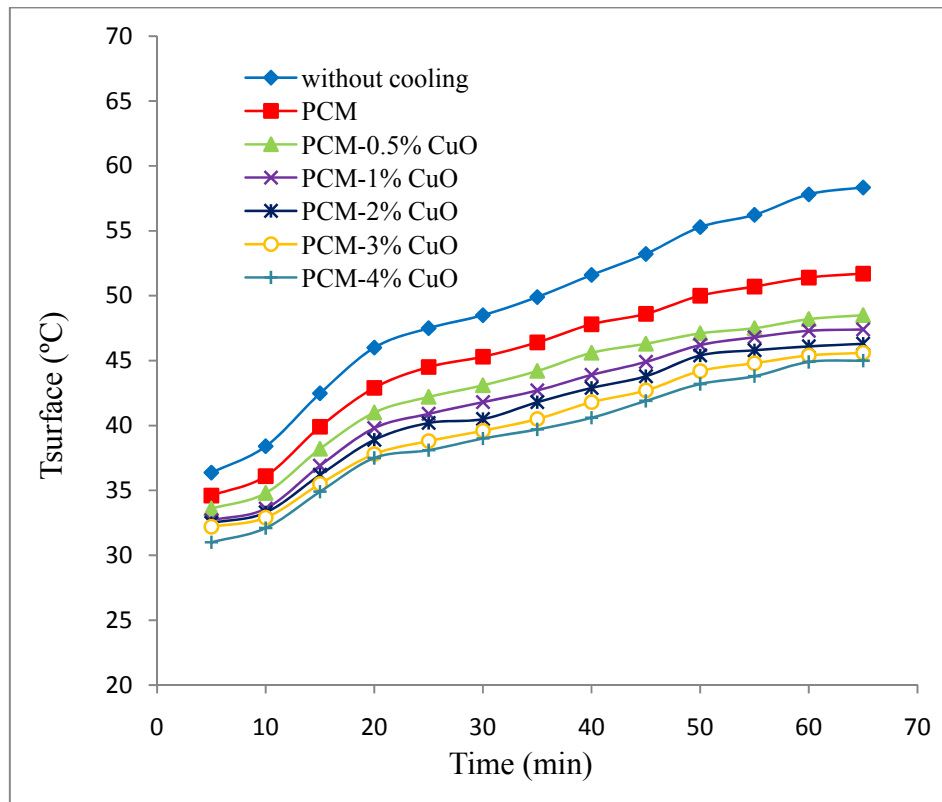
### ۳- بحث و نتیجه‌گیری

۳-۱- بررسی اثر ماده تغییر فاز دهنده خالص و ترکیب ماده تغییر فاز دهنده و اکسید مس بر دماهی سطح مازول فتوولتائیک  
در ابتدا آزمایشات برای حالت بدون سیستم خنک‌کننده انجام شده و همه داده‌ها شامل دماهی سطح مازول، ولتاژ و جریان ثبت شدند. جدول ۴ داده‌ای  $9$  نقطه از سطح مازول فتوولتائیک و همچنین میانگین آن‌ها را با گذشت زمان تا رسیدن به حالت پایا در حالت بدون سیستم خنک‌کننده نشان می‌دهد. مطابق این جدول، دما در اکثر نقاط سطح مازول بعد از گذشت حدوداً  $60$  دقیقه به حالت پایا رسیده و حداقل

جدول ۴: تغییرات دماهی سطح مازول فتوولتائیک با زمان در حالت بدون سیستم خنک‌کننده.

Table 4: Surface temperature changing of the photovoltaic module over time without cooling system.

T <sub>ave</sub>	T <sub>9</sub> (°C)	T <sub>8</sub> (°C)	T <sub>7</sub> (°C)	T <sub>6</sub> (°C)	T <sub>5</sub> (°C)	T <sub>4</sub> (°C)	T <sub>3</sub> (°C)	T <sub>2</sub> (°C)	T <sub>1</sub> (°C)	زمان (دقیقه)
36/37	37/2	35/9	37/3	37/1	35/8	36	36/2	35/2	36/6	5
38/40	38/3	38	38/2	38/3	38/8	38/7	39	38	38/3	10
42/48	42	43/2	42/6	43/2	42/3	42/2	42/6	41/3	42/9	15
46/00	46/3	46/5	46	46/2	45/8	46/1	45/8	45/6	45/7	20
47/50	47/8	47	47/6	47/7	47/2	47/8	47/3	47/7	47/4	25
48/50	48/4	48/8	48/6	48/7	48/7	48/9	48/8	47/9	47/7	30
49/90	49/6	50/2	50	49/6	50/2	49/7	50/5	49/7	49/6	35
51/60	51/5	52/7	51/2	51/4	51/6	51/7	51/8	50/7	51/8	40
53/22	53/8	54/3	53/3	53/4	53/6	52/8	53	52/5	52/3	45
55/29	55/9	56/5	55/5	55/9	54/8	55/7	54	54/8	54/5	50
56/23	56/7	57/4	56/6	56/8	56/4	56/2	55/5	55	55/5	55
57/81	58/8	59/1	58/1	58	57/9	57/7	57	56/8	56/9	60
58/34	59	59/2	58/6	58/7	58/3	58/8	57/5	57/6	57/4	65



شکل ۴: تغییرات دمای متوسط سطح مازول با زمان برای حالت بدون سیستم خنک کننده، استفاده از ماده تغییر فاز دهنده و استفاده همزمان ماده تغییر فاز دهنده و نانوذرات ( $Q=1 \text{ Lit/min}$ ,  $W=1 \text{ kg}$ ).

**Fig. 4: Mean temperature variations of the module surface over time for cooling-free mode, using PCM and PCM with nanoparticle simultaneously ( $Q = 1 \text{ Lit / min}$ ,  $W = 1 \text{ kg}$ ).**

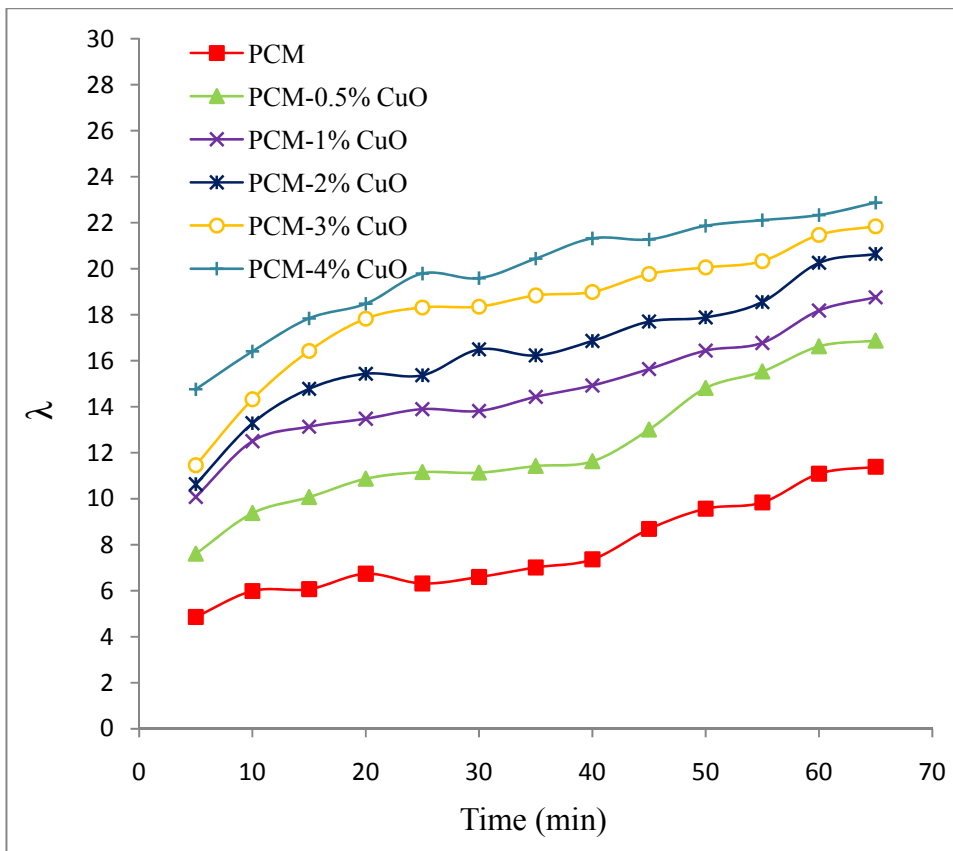
شکل ۵ نشان می‌دهد که با که در همه حالت‌ها، بازده خنک‌سازی با زمان با شیب نسبتاً تنیدی در حال افزایش بوده و تقریباً بعد از ۶۰ دقیقه به سمت ثابت شدن پیش رفته است.

حال استفاده از ماده تغییر فاز دهنده خالص کمترین بازده را داشته و حداقل مقدار آن به  $11/38$  درصد می‌رسد. نانوذرات اکسید مس به علت داشتن ضریب هدایت حرارتی و همچنین ظرفیت گرمایی ویژه بالا منجر به افزایش ظرفیت جذب گرمای ماده ماده تغییر فاز دهنده شده و بنابراین بازده خنک‌سازی را افزایش می‌دهد.

همان طور که شکل ۵ نشان می‌دهد، با افزایش غلظت نانوذرات در ترکیب ماده تغییر فاز دهنده و نانوذرات اکسید مس مقادیر ۸٪ افزایش چشمگیری داشته و بالاترین بازده خنک‌سازی مربوط به استفاده از ماده تغییر فاز دهنده و اکسید مس ۴٪ بوده که حدود ۲۲/۸۷٪ است. بنابراین، در آزمایشات بعدی ماده تغییر فاز دهنده و اکسید مس ۴٪ به عنوان یک حالت بهینه انتخاب شده است.

همچنین، مطابق شکل ۴ مشاهده می‌شود که با افزایش غلظت نانوذرات اکسید مس، کاهش دمای سطح مازول افزایش یافته و بهترین حالت مربوط به ترکیب ماده تغییر فاز دهنده و اکسید مس ۴٪ است که دما به  $45^{\circ}\text{C}$  رسیده است. وجود نانوذرات اکسید مس در ماده تغییر فاز منجر به افزایش هدایت حرارتی آن شده و ظرفیت جذب گرما را بالا می‌برد. همچنین افزودن نانوذرات به پارافین مطابق جدول ۳ منجر به کاهش نقطه ذوب آن شده که به نفع خنک‌سازی سیستم است. درصد نسبت کاهش دمای نسبی سطح مازول در حالت استفاده از ماده تغییر فاز دهنده به دمای سطح مازول در حالت بدون سیستم خنک کننده را به عنوان یک معیار بدون بعد به نام بازده خنک‌سازی می‌نامند. به منظور مقایسه علکرد خنک‌سازی ماده تغییر فاز دهنده خالص و ترکیب ماده تغییر فاز دهنده و نانوذرات اکسید مس، بازده کاهش دمای متوسط سطح مازول فتوولتائیک نسبت به حالت بدون سیستم خنک کننده ( $\lambda$ ) به صورت زیر تعریف شده است [۲۲]:

$$\lambda = \left| \frac{T_{PCM} - T_{no\ cooling}}{T_{no\ cooling}} \right| \times 100 \quad (4)$$



شکل ۵: تغییرات درصد کاهش دمای متوسط سطح مازول نسبت به حالت بدون سیستم خنک کننده ( $\lambda$ ) با زمان برای حالت استفاده از ماده تغییر فاز دهنده و استفاده همزمان ماده تغییر فاز دهنده و نانوذرات ( $Q=1 \text{ Lit/min}$ ,  $W=1 \text{ kg}$ )

Fig. 5: Changing percentage reduction of mean temperature of the module surface relative to the no-cooling system ( $\lambda$ ) with time using PCM and PCM with nanoparticle simultaneously ( $Q = 1 \text{ Lit / min}$ ,  $W = 1 \text{ kg}$ ).

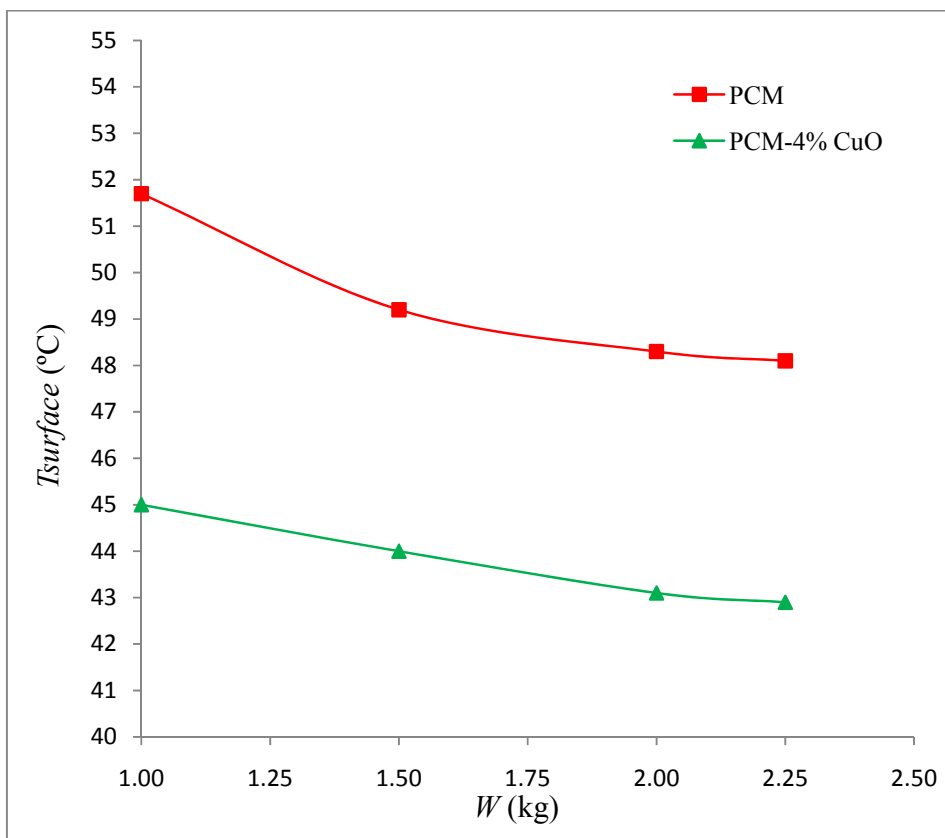
همان طورکه انتظار می‌رود، مقایسه بین دمای سطح مازول با ماده تغییر فاز دهنده خالص و ترکیب ماده تغییر فاز دهنده و اکسید مس ۴٪ نشان می‌دهد که شبیه تغییرات دمایی با مقدار ماده تغییر فاز دهنده با حالت استفاده از اکسید مس ۴٪ کمتر بوده است. درواقع، اثر مقدار مقدار ماده (W) در ماده تغییر فاز دهنده خالص مشهودتر بوده و با اضافه کردن نانوذرات به ماده تغییر فاز دهنده می‌توان ظرفیت جذب گرمای آن را بالا برد و از مقدار کمتر آن استفاده کرد. در پایان، در آزمایشات مرحله بعد مقدار ۲ kg به عنوان یک حالت مناسب برای ماده تغییر فاز دهنده انتخاب شده است.

### ۳-۱- اثر دبی آب خنک کن بر کاهش دمای سطح مازول فتوولتائیک و راندمان کل

همان طورکه گفته شد، به منظور به تعویق انداختن ذوب شدن ماده تغییر فاز دهنده، از میلی لوله‌های مسی که در آنها

### ۳-۲- اثر مقدار ماده تغییر فاز دهنده استفاده شده بر کاهش دمای سطح مازول فتوولتائیک

شکل ۶ اثر وزن ماده تغییر فاز دهنده خالص و ترکیب آن با ۴٪ نانوذرات اکسید مس بر تغییرات دمای سطح مازول را نشان می‌دهد. در ابتدا با تغییر وزن ماده تغییر فاز دهنده از ۱ kg به ۱/۵ kg، دمای سطح مازول با شبیه تندی در حال کاهش یافتن بوده و با تغییر وزن ماده تغییر فاز دهنده به ۲ kg شبیه تغییرات دما کمتر شده است. افزایش وزن ماده تغییر فاز دهنده به معنای افزایش توانایی جذب گرمای سطح مازول است. اما همان طورکه در شکل مشاهده می‌شود تغییرات محسوس دمایی برای مقدار ماده تغییر فاز دهنده برابر ۲ kg و ۲/۲۵ kg مشاهده نمی‌شود و این بدین معناست که مقدار ۲ kg از ماده تغییر فاز دهنده برای دو حالت خالص و ترکیب آن با ۴٪ نانوذرات توانایی جذب گرمای سطح مازول را داشته و به منظور صرفه‌جویی اقتصادی و همچنین راحتی کار، مقدار بیشتر آن توصیه نمی‌شود.



شکل ۶: اثر مقدار ماده تغییر فاز دهنده استفاده شده (W) بر دمای متوسط سطح مازول برای حالت استفاده از ماده تغییر فاز دهنده و استفاده همزمان ماده تغییر فاز دهنده و نانوذرات (Q=1 Lit/min,  $\phi=4\%$  CuO).

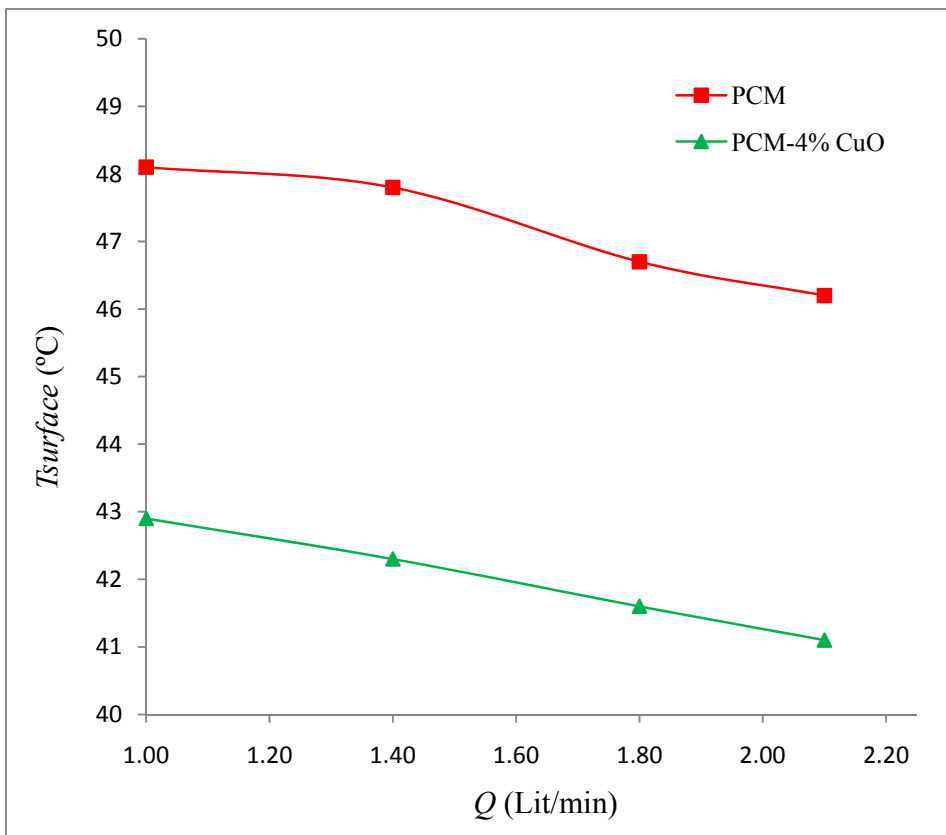
**Fig. 6: The effect of the amount of PCM (W) on the average surface temperature of the module using PCM and PCM with nanoparticle simultaneously (Q = 1 Lit / min,  $\phi = 4\%$  CuO).**

(Q) منجر به افزایش سرعت انتقال حرارت بین آب و ماده تغییر فاز دهنده اطراف لوله‌ها خواهد شد و بنابراین عملکرد ماده تغییر فاز دهنده برای کاهش دمای سطح مازول را بهبود می‌بخشد. در شکل ۷ مقایسه بین دمای سطح مازول با ماده تغییر فاز دهنده خالص و ماده تغییر فاز دهنده و اکسید مس ۴ درصد نشان می‌دهد که در حالت استفاده از ماده تغییر فاز دهنده خالص است ۴٪ دمای سطح مازول کمتر از ماده تغییر فاز دهنده خالص است که با نتایج قبلی تطابق دارد. در پایان، در آزمایشات مرحله بعد دبی برابر ۲/۱ Lit/min به عنوان یک حالت مناسب برای آب خنک کن انتخاب شده است.

#### ۴-۳- عملکرد الکتریکی

به منظور بررسی تأثیرات خنک‌سازی ماده تغییر فاز بر تولید برق توسط مازول فتوولتائیک، ابتدا عملکرد مازول بدون سیستم

آب سرد جریان دارد، استفاده شده است. لوله‌های مسی با فاصله از سطح مازول قرار گرفته و در تماس با آن نبوده و تنها نقش خنک‌کننده ماده تغییر فاز دهنده در حالت مذاب را به عهده دارد. شکل ۷ دبی آب خنک کن (Q) جاری در میلی لوله‌های مسی که توسط ماده تغییر فاز دهنده احاطه شده‌اند را بر تغییرات دمای سطح مازول را نشان می‌دهد. درواقع، آب سرد داخل لوله‌ها به منظور تبادل انتقال حرارت با ماده تغییر فاز دهنده به کار برد شده‌اند. با افزایش دمای سطح مازول به مقدار بیشتر از دمای نقطه ذوب ماده تغییر فاز دهنده، شاهد ذوب شدن آن خواهیم بود. بنابراین با جریان دادن آب خنک داخل لوله‌های مسی می‌توان مجدداً ماده تغییر فاز دهنده را به حالت جامد برگرداند و فرایند تبادل گرمای سطح مازول به ماده تغییر فاز دهنده و تغییر حالت آن ادامه پیدا می‌کند. مطابق شکل، افزایش دبی آب خنک کن منجر به کاهش دمای سطح مازول شده که به دلیل جلوگیری از ذوب شدن پارافین بوده است. درواقع، افزایش



شکل ۷: اثر دبی آب خنک کن (Q) بر دمای متوسط سطح مازول برای حالت استفاده از ماده تغییر فاز دهنده و استفاده همزمان ماده تغییر فاز دهنده و نانوذرات (W=۲ kg, φ=۴% CuO)

**Fig. 7: The effect of cooling water flow (Q) on the average surface temperature of the module using PCM and PCM with nanoparticle simultaneously (W = 2 kg, φ = 4% CuO).**

میزان ماده تغییر فاز دهنده استفاده شده، روند مشخصی در افزایش توان تولیدی وجود دارد. با توجه به این شکل، حداکثر توان خروجی از سیستم فتوولتائیک ماده تغییر فاز دهنده برابر با  $\frac{3}{4} \times 47$  وات است که مربوط به  $W=2/25$  kg در ولتاژ  $V=2/25$  است.

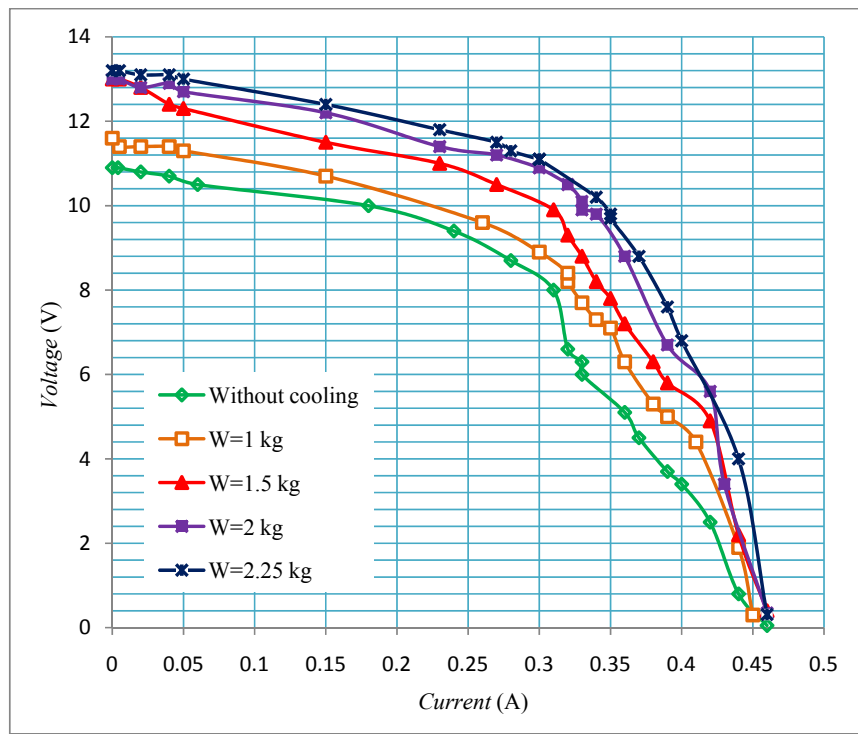
حداکثر توان خروجی تولید شده از مازول ( $P_{max}$ ) فتوولتائیک را می‌توان به صورت زیر محاسبه کرد [۲۳]:

$$P_{max} = I_{PV} \times V_{PV} \quad (5)$$

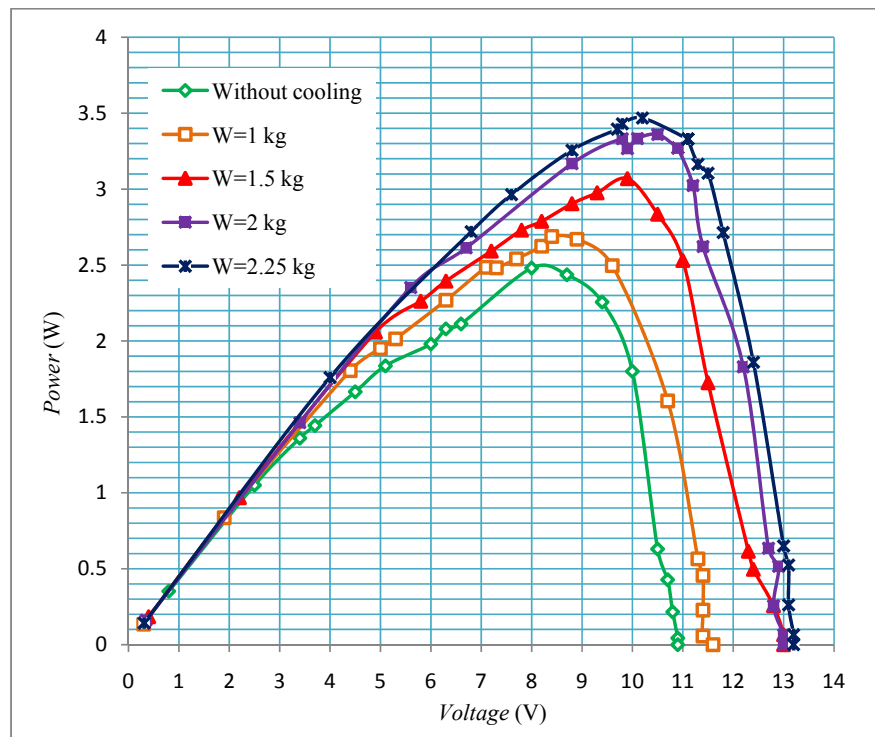
همان‌طور که در شکل ۱۰ دیده می‌شود، انرژی تولید شده از مازول فتوولتائیک، با افزایش غلظت نانوذرات در ماده تغییر فاز دهنده و همچنین وزن ماده تغییر فاز دهنده، افزایش می‌یابد. همان‌طور که در بالا ذکر شد، افزایش غلظت نانوذرات اکسید مس در پارافین موجب افزایش ضریب هدایت حرارتی آن شده و درنتیجه عملکرد خنک‌کنندگی ماده تغییر فاز دهنده برای کاهش دمای سطح مازول فتوولتائیک افزایش می‌یابد. بنابراین، توان تولیدی خروجی به علت کاهش دمای مازول فتوولتائیک افزایش می‌یابد.

خنک‌کنندگی مورد ارزیابی قرار می‌گیرد. سپس، داده‌های I-V از آزمایشات در چهار وزن مختلف از پارافین در ترکیب با ماده تغییر فاز دهنده و اکسید مس ۴٪ جمع‌آوری می‌شود. داده‌های آزمایشگاهی I-V مازول فتوولتائیک در محدوده زمانی استاندارد، برای حالت بدون خنک‌سازی و برای (W=۱-۲/۲۵ kg) در شکل ۸ ترسیم شده است. همان‌طور که در شکل زیر دیده می‌شود، مساحت تحت منحنی I-V با افزایش وزن ماده تغییر فاز دهنده افزایش می‌یابد. از آنجا که مساحت ناحیه زیر منحنی I-V میزان توان تولید برق را نشان می‌دهد، این نتایج به معنای افزایش توان خروجی از مازول فتوولتائیک با افزایش وزن ماده تغییر فاز دهنده در ترکیب آن با نانوذرات اکسید مس است. مشابه داده‌های دمای سطح مازول، تغییرات داده‌های I-V برای W=۲/۲۵ kg و W=۲ kg بسیار کم است.

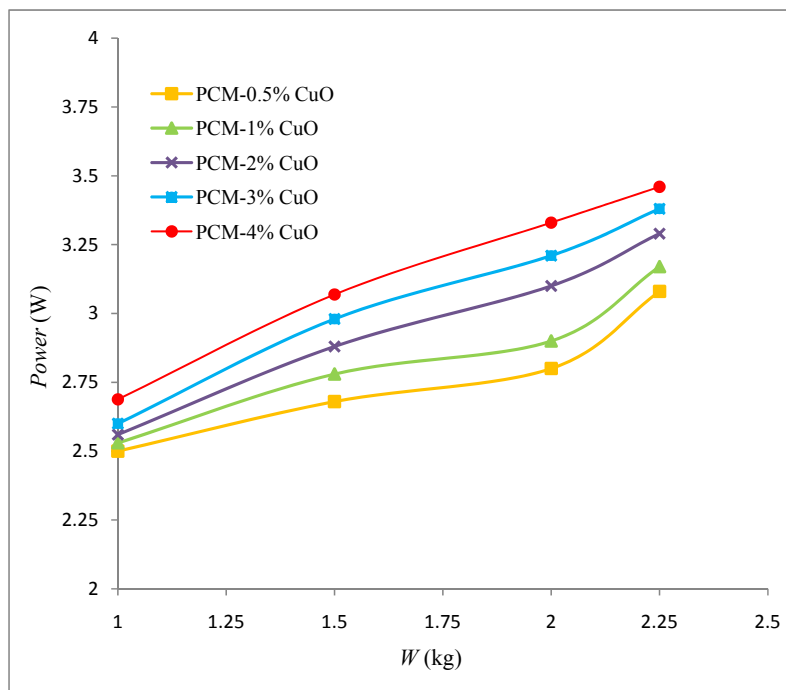
توان تولید شده از مازول فتوولتائیک که با ماده تغییر فاز دهنده و اکسید مس ۴٪ کار می‌کند، به عنوان تابعی از ولتاژ خروجی در شکل ۹ ترسیم شده است. همان‌طور که انتظار می‌رود، با افزایش



شکل ۸: نمودار ولتاژ-جریان برای حالت‌های بدون سیستم خنک‌کننده و مقادیر مختلف ماده تغییر فاز دهنده ( $Q = 2.1 \text{ Lit/min}$ ,  $\phi = 4\% \text{ CuO}$ )  
Fig. 8: Voltage-current diagram for coolant-free modes and different PCM values ( $Q = 2.1 \text{ Lit / min}$ ,  $\phi = 4\% \text{ CuO}$ )



شکل ۹: نمودار ماکزیمم توان-ولتاژ برای حالت‌های بدون سیستم خنک‌کننده و مقادیر مختلف ماده تغییر فاز دهنده ( $Q = 2.1 \text{ Lit/min}$ ,  $\phi = 4\% \text{ CuO}$ )  
Fig. 9: Maximum voltage-voltage diagram for non-cooling modes and different values of PCM( $Q = 2.1 \text{ Lit / min}$ ,  $\phi = 4\% \text{ CuO}$ )



(Q=۲/۱ Lit/min) شکل ۱۰: ماکریم توان های تولید شده مازول فتوولتائیک با تغییر غلظت نانوذرات و وزن ماده تغییر فاز دهنده

Fig. 10: Maximum power produced by photovoltaic module by varying concentration of nanoparticles and weight of PCM (Q = 2.1 Lit / min).

از گرمای سطح مازول و کنترل ظرفیت حرارتی سیستم منجر به افزایش بازده خنکسازی و توان تولیدی آن می‌شود. به منظور به تعویق انداختن ذوب شدن ماده تغییر فاز دهنده، لوله‌های مارپیچی مسی با فاصله کمی از سطح مازول و درون ماده تغییر فاز دهنده در محفظه پشت مازول قرار گرفته‌اند و آب خنک از داخل آن‌ها در جریان است. افزودن نانوذرات اکسید مس به ماده تغییر فاز دهنده موجب افزایش ضریب هدایت حرارتی و توانایی جذب آن برای دریافت گرما شده و منجر به کاهش دمای سطح مازول شده است. اثر غلظت نانوذرات و مقدار ماده تغییر فاز دهنده بر پارامترهای مختلف مانند دمای سطح مازول، افزایش توان مازول فتوولتائیک بازده خنکسازی مازول فتوولتائیک بررسی شد. طبق نتایج به دست آمده، استفاده از ماده تغییر فاز دهنده خالص و ترکیب ماده تغییر فاز دهنده و نانوذرات اکسید مس منجر به کاهش دمای سطح مازول، افزایش بازده خنکسازی و همچنین افزایش توان تولیدی مازول فتوولتائیک می‌شود. افزایش وزن ماده تغییر فاز دهنده خالص و ترکیب ماده تغییر فاز دهنده با  $\text{CuO}$  اکسید مس ۴٪، از  $1 \text{ kg}$  به  $2/25 \text{ kg}$  منجر به کاهش دمای سطح مازول به ترتیب از  $48/1$  به  $42/9$  درجه سانتی گراد و از  $45$  به  $51/7$  درجه سانتی گراد شده است. افزایش غلظت نانوذرات اکسید مس، منجر به افزایش بازده خنکسازی

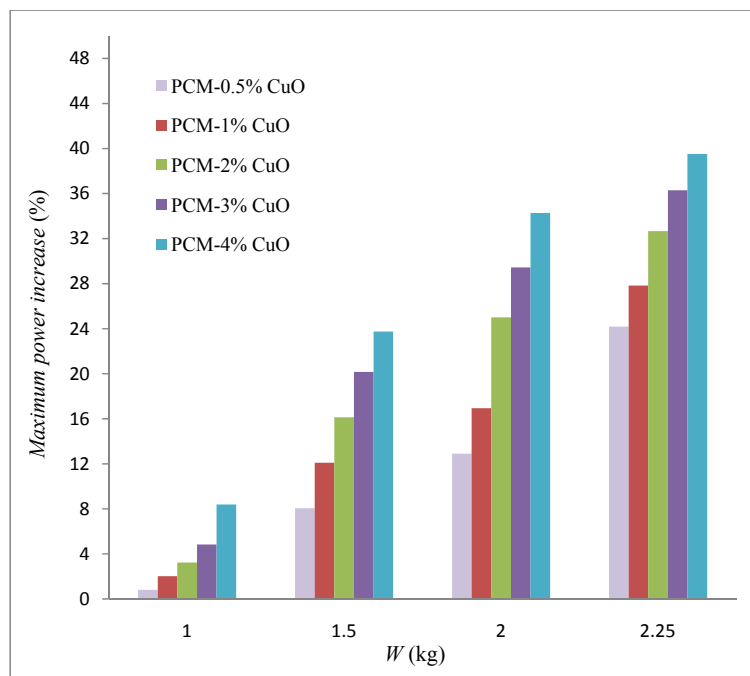
در این مطالعه، معادله (۶) برای محاسبه درصد افزایش ماکریم توان خروجی،  $P_{\max}$ ، استفاده می‌شود که به شرح زیر تعریف می‌شود [۲۳]:

$$P_{(\max)increase} = \left( \frac{P_{PCM} - P_{no\ cooling}}{P_{no\ cooling}} \right) \times 100 \quad (6)$$

درصد افزایش توان خروجی مازول فتوولتائیک برای ترکیب تغییر فاز دهنده و نانوذرات با غلظت‌های مختلف در وزن‌های مختلف پارافین در شکل ۱۱ نشان داده شده است. این شکل نیز نشان می‌دهد که افزایش غلظت نانوذرات اکسید مس در ماده تغییر فاز دهنده و افزایش وزن ماده تغییر فاز دهنده منجر به افزایش عملکرد خنک‌کنندگی آن شده و درنتیجه دمای سطح مازول فتوولتائیک کاهش می‌یابد. بنابراین، انتظار می‌رود که درصد افزایش ماکریم توان خروجی نیز به علت کاهش دمای مازول فتوولتائیک افزایش یابد.

#### ۴- نتیجه‌گیری

در این مقاله، از ماده تغییر فاز دهنده جهت خنکسازی و کاهش دمای سطح یک مازول فتوولتائیک استفاده شده است. ماده تغییر فاز دهنده در محفظه پشت مازول قرار گرفته و با دریافت مقدار زیادی



شکل ۱۱: درصد افزایش توان تولید شده مازول فتوولتائیک نسبت به حالت بدون سیستم خنک کننده در غلظت‌های مختلف نانوذرات و با تغییر وزن ماده تغییر فاز دهنده ( $Q=2.1 \text{ Lit/min}$ ).

**Fig. 11: Percentage of power generated by the photovoltaic module compared to the no-cooling state at different concentrations of nanoparticles using changing of weight of PCM material ( $Q = 2.1 \text{ Lit / min}$ ).**

حروف یونانی	
بازده خنک‌سازی (-)	$\lambda$
غلظت نانوذرات (-)	$\Phi$
<b>زیرنویس</b>	
ماکریمم	max
بدون سیستم خنک کننده	no cooling
<b>اختصارات</b>	
فتوولتائیک	PV
ماده تغییر فاز دهنده	PCM
انحراف استاندارد نسبی	RSD

و مقدار توان تولیدی مازول فتوولتائیک شده و بالاترین مقادیر آنها به ترتیب برابر  $22/87\%$  و  $22/46\text{ W}$  مربوط به حالت استفاده از ماده تغییر فاز دهنده  $2/25 \text{ kg}$  و اکسید مس  $4\%$  است.

### تقدیر و تشکر

تحقیق حاصل بخشی از طرح پژوهشی با عنوان طراحی و ساخت خشک کن خورشیدی می‌باشد. بدینوسیله از حمایت دانشگاه آزاد اسلامی واحد کرمانشاه تقدیر و تشکر می‌گردد.

### فهرست علائم

- [1] Al-Waeli AH, Sopian K, Chaichan MT, Kazem HA, Hasan HA, Al-Shamani AN. An experimental investigation of SiC nanofluid as a base-fluid for a photovoltaic thermal PV/T system. Energy Convers Manage 2017; 142: 547-558.
- [2] Chandel S, Agarwal T. Review of cooling techniques using phase change materials for enhancing efficiency of photovoltaic power systems. Renewable and Sustainable Energy Reviews 2017; 73: 1342-1351.

### منابع

شدت میانگین بر سطح جاذب ( $\text{W/m}^2$ )	$I$
دماي سطح مازول ( $^{\circ}\text{C}$ )	$T$
جريان مازول فتوولتائیک (A)	$I_{\text{PV}}$
ولتاژ مازول فتوولتائیک (V)	$V_{\text{PV}}$
ماکریمم توان مازول فتوولتائیک (W)	$P_{\text{max}}$
دبی آب خنک کن (Lit/min)	$Q$
مقدار ماده تغییر فاز دهنده مورد استفاده (kg)	$W$

- module using phase change material. Energy 2018; 142: 803-812.
- [14] Preet S. Water and phase change material based photovoltaic thermal management systems: A review. Renewable and Sustainable Energy Reviews 2018; 82: 791-807.
- [15] Nižetić S, Arıcı M, Bilgin F, Grubišić-Čabo F. Investigation of pork fat as potential novel phase change material for passive cooling applications in photovoltaics. J of Clean Prod 2018; 170: 1006-1016.
- [16] Su Y, Zhang Y, Shu L. Experimental study of using phase change material cooling in a solar tracking concentrated photovoltaic-thermal system. Sol Energy 2018; 159: 777-785.
- [17] Karunamurthy K, Murugumohankumar K, Suresh S. Use of CuO nano-material for the improvement of thermal conductivity and performance of low temperature energy storage system of solar pond. Digest J Nano Mater Bio Struct 2012; 7(4): 1833-1841.
- [18] Sardarabadi M, Passandideh-Fard M, Maghrebi M-J, Ghazikhani M. Experimental study of using both ZnO/water nanofluid and phase change material (PCM) in photovoltaic thermal systems. Sol Energy Mater Sol Cells 2017; 161: 62-69.
- [19] Mousavi Baigi Seyed Reza, Sadrameli Seyed Mojtaba, Designs and Builds a Cooling System to Increase the Efficiency of Photovoltaic Panels Using Changing Phase Materials. Sharif Mechanical Engineering Journal, Volume 3-23, Number 1, pp. 77-82 (2016). (in Persian)
- [20] Chandrasekar M, Suresh S, Senthilkumar T. Passive cooling of standalone flat PV module with cotton wick structures. Energy Convers Manage 2013; 71: 43-50.
- [21] Karami E, Rahimi M, Azimi N. Convective heat transfer enhancement in a pitted microchannel by stimulation of magnetic nanoparticles. Chem Eng Process 2018; 126: 156-167.
- [22] Rostami Z, Rahimi M, Azimi N. Using high-frequency ultrasound waves and nanofluid for increasing the efficiency and cooling performance of a PV module. Energy Convers Manage 2018; 160: 141-149.
- [23] Karami N, Rahimi M. Heat transfer enhancement in a PV cell using Boehmite nanofluid. Energy Convers Manage 2014; 86: 275-285.
- [3] Kazem HA, Al-Badi HA, Al Busaidi AS, Chaichan MT. Optimum design and evaluation of hybrid solar/wind/diesel power system for Masirah Island. Environ Dev Sustain 2017; 19(5): 1761-1778.
- [4] Popovici CG, Hudișteanu SV, Mateescu TD, Cherecheș N-C. Efficiency improvement of photovoltaic panels by using air cooled heat sinks. Energy Procedia 2016; 85: 425-432.
- [5] Emam M, Ookawara S, Ahmed M. Performance study and analysis of an inclined concentrated photovoltaic-phase change material system. Sol Energy 2017; 150: 229-245.
- [6] Kalogirou SA, Tripanagnostopoulos Y. Hybrid PV/T solar systems for domestic hot water and electricity production. Energy Convers Manage 2006; 47(18-19): 3368-3382.
- [7] Sardarabadi M, Passandideh-Fard M, Heris SZ. Experimental investigation of the effects of silica/water nanofluid on PV/T (photovoltaic thermal units). Energy 2014; 66: 264-272.
- [8] Ghadiri M, Sardarabadi M, Pasandideh-fard M, Moghadam AJ. Experimental investigation of a PVT system performance using nano ferrofluids. Energy Convers Manage 2015; 103: 468-476.
- [9] Barrau J, Rosell J, Chemisana D, Tadrist L, Ibáñez M. Effect of a hybrid jet impingement/micro-channel cooling device on the performance of densely packed PV cells under high concentration. Sol Energy 2011; 85(11): 2655-2665.
- [10] Bahaidarah H, Subhan A, Gandhidasan P, Rehman S. Performance evaluation of a PV (photovoltaic) module by back surface water cooling for hot climatic conditions. Energy 2013; 59: 445-453.
- [11] Preet S, Bhushan B, Mahajan T. Experimental investigation of water based photovoltaic/thermal (PV/T) system with and without phase change material (PCM). Sol Energy 2017; 155: 1104-1120.
- [12] Klemm T, Hassabou A, Abdallah A, Andersen O. Thermal energy storage with phase change materials to increase the efficiency of solar photovoltaic modules. Energy Procedia 2017; 135: 193-202.
- [13] Karthick A, Murugavel KK, Ramanan P. Performance enhancement of a building-integrated photovoltaic